

Pictorial 3 : Experimental Simulations of Shale Smear Using Natural Sand-shale Interbedded Specimens

写真1



写真1 実験前のサンプル全体写真(円柱直径は40 mm). 斜め30°にカットされた砂岩ブロックの間に上部Miri層より採取した砂泥互層を挟む. 写真は泥質部の多い砂泥互層をサンプルに用いた例.

Photo 1 Photograph of starting material of muddy sand-shale interbedded specimen (Miri1-test 030606).

写真2



写真2 Miri1-test030606の実験後の薄片写真. 中央部は上部Miri層より採取した砂泥互層(厚さ8.1 mm). 砂泥互層中の泥岩が断層面を引きずられて入り込んでいる様子がわかる.

Photo 2 Microphotograph (thin section, open Nicol) of experimental product of Miri1-test030606 (Photo 1). Shale layer are smeared into the artificial fault zone.

図1

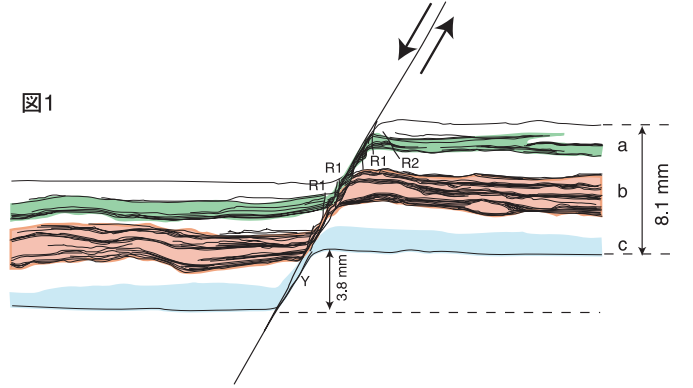


図1 写真2のスケッチ. Riedel 剪断面の発達が見られる.

Fig. 1 Sketch of Photo 2. Riedel shears are observed.

写真3



写真3 実験前のサンプル全体写真(円柱直径は40 mm). 写真は砂質部の多い砂泥互層をサンプルに用いた例.

Photo 3 Photograph of starting material of sandy sand-shale interbedded specimen (Miri5-test030425).

写真4



写真4 Miri5-test030425の実験後の薄片写真. 中央部は上部Miri層より採取した砂泥互層(厚さ7.8 mm).

Photo 4 Microphotograph (thin section, open Nicol) of experimental product of Miri5-test030425 (Photo 4).

図2

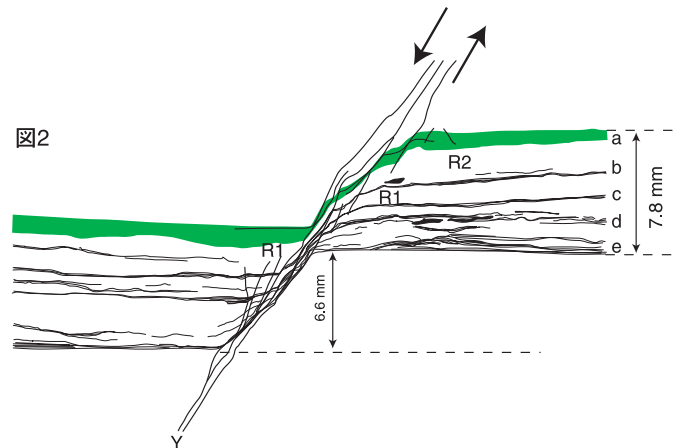


図2 写真5のスケッチ. Riedel 剪断面の発達が見られる.

Fig. 2 Sketch of Photo 5. Riedel shears are observed.